

实验质子-中子互作用能量*

张敬业

(理论分中心, CCAST (World Lab.) 和 中国科学院近代物理所, 兰州 730000)

摘要

本文介绍并发展了一种从实验结合能及激发能提取质子-中子互作用能 δV_{pn} 的方法, 据此对 $N \geq 40$ 全部偶偶核的基态及部份核的高自旋态的质子-中子互作用作了讨论。同时, 还讨论了一些奇 A 核中特定组态的高自旋态的质子-中子互作用。结果表明, 这类实验 δV_{pn} 值包含着 p-n 互作用的各种多极项, 主要是单极和四极项, 而且灵敏地依赖于核的形变, 组态与转动频率。

一、基本方法

核内存在质子-中子互作用是早被人们认识到的。我们容易发现核子对的分离能存在如下规律: 核内一对中子的分离能 $S(N)$ 随着质子数的增加而增大; 与此同时, 一对质子的分离能 $S(Z)$, 随中子数的增加而增大。然而 $S(N)$ ($S(Z)$) 却随中子(质子)数的增加而减小。由此不难得出结论, 核内不仅存在质子-中子互作用, 而且总是相互吸引的。然而中子-中子或质子-中子互作用在总体上却是相互排斥的。仅仅是中子-中子对作用和质子-质子对作用, 是相互吸引的^[1,2]。早在五十年代初, de Shalit 和 Goldhaber 就指出^[3], 质子-中子互作用是核具有偏离于球形的形变的基本原因。但很长一段时间内, 这一认识并未能得到发展。

到七十年代末八十年代初, 越来越多的人开始探讨这一问题。人们对于质子-中子互作用与核的形变及集体运动的关系有了较为深刻的认识, 理论上有许多定量的分析(见文献 [4—6])。同时, 从实验上提取和分析质子-中子互作用的信息也引起了人们的注意^[7—9]。近两年来, 我们从核的结合能系统地提取并分析了实验 p-n 互作用能 δV_{pn} , 研究了它随中子、质子数、转动频率以及组态的变化规律^[10—13]。理论分析指出, 这种 δV_{pn} 包括了 p-n 互作用的各种多极项, 主要是单极项和四极项。

由于核内核子间的互作用主要是二体作用, 从原则上我们可以将核的结合能作如下分解:

$$B(Z, N) = V^{nn}(N) + V^{pp}(Z) + V_{mf}^n(N) + V_{mf}^p(Z) + V^{pn}(Z, N), \quad (1)$$

其中 $V^{nn}(N)$ 是残余中子-中子互作用, 只是中子数的函数, 而 $V^{pp}(Z)$ 是残余的质子-

本文 1990 年 10 月 31 日收到。

* 国家自然科学基金资助项目。

质子互作用，只是质子数的函数； $V_{mf}^n(N)$ ($V_{mf}^p(Z)$) 则是中子(质子)对平均场的贡献，其余的是质子-中子互作用 $V_{pn}(Z, N)$ 。

于是最后一个质子与最后一个中子间的残余互作用可以表示为：

$$\begin{aligned}\delta V_{pn}(Z, N) = & \frac{1}{4} \{ [B(Z+1, N+1) - B(Z+1, N-1)] \\ & - [B(Z-1, N+1) + B(Z-1, N-1)] \},\end{aligned}\quad (2)$$

因为第一个方括号是质子数相同的相邻两核的结合能之差，由(1)式可知，纯粹质子-质子互作用以及质子平均场部分已被消去，余下的是最后两个中子之间的互作用，它们对平均场的贡献以及它们与全部 $Z+1$ 个质子的互作用。第二个方括号内的量也一样，所不同的只是这儿质子数是 $(Z-1)$ 个。这两个方括号中量的差值，则进一步消去了残余的中子-中子互作用及它们对平均场的贡献。而余下的只是最后一对质子与最后一对中子间的互作用。除以4，则得到最后一个质子与最后一个中子互作用的平均能量。

请注意，在下面的实际计算中，本文分析的主要是偶偶核的实验数据，由式(2)的标记法，所得的 δV_{pn} 对应的 Z 和 N 将是奇数。这意味着这一 δV_{pn} 值是来自相邻四个偶偶核的结合能，而不意味着这一 δV_{pn} 值是来自奇奇核。

随着自旋的增加，核的内部结构与形状有许多变化。对应的核内 p-n 互作用变化规律自然也是十分有兴趣的问题。注意到在给定转动频率 $\hbar\omega$ 下核的总能量是

$$B_\omega(Z, N, \omega) = B(Z, N) + E_{ex}(Z, N, \omega), \quad (3)$$

其中 E_{ex} 是相对于基态的激发能。对应于(2)式，不难得得到此转动频率下 δV_{pn} 的表达式：

$$\begin{aligned}\delta V_{pn}(Z, N, \omega) = & \frac{1}{4} \{ [B_\omega(Z+1, N+1, \omega) - B_\omega(Z+1, N-1, \omega)] \\ & - [B_\omega(Z-1, N+1, \omega) - B_\omega(Z-1, N-1, \omega)] \}.\end{aligned}\quad (4)$$

二、结果讨论

根据已测量的核的基态结合能数据^[14]，利用公式(2)，很容易求得对应的 δV_{pn} 值。作为例子，图1给出了 $N \geq 40$ 所有核的 δV_{pn} 值。插图是放大了的 $Z = 37, 39, 41$ ， $N = 45-59$ 区域的 δV_{pn} ，从图1首先可以看到 δV_{pn} 的绝对值随质量数的增加而减少的总趋势：由 $N \approx 40$ 到锕系区， $|\delta V_{pn}|$ 由 600 降到 200 keV。这是和中子轨道半径及质子轨道半径的差别随质量数的增大而增大，亦即最后一个质子与最后一个中子的波函数重叠越来越小相联系的。下面进一步研究一下 δV_{pn} 相对于平均值的涨落行为。

如前所述，实验 δV_{pn} 值包括了 p-n 互作用各级多极项，主要是单极及四极互作用。单极互作用取决于质子和中子的径向波函数的重叠量，因此主要取决于质子和中子的主量子数 n 和轨道量子数 l 的差值 ($\Delta n \equiv |n_n - n_p|$, $\Delta l \equiv |l_n - l_p|$) 可十分粗略地表示为^[2]

$$\delta V_{pn}(\text{单极}) \approx \frac{-x_0}{\Delta n + \Delta l + 1}, \quad (5)$$

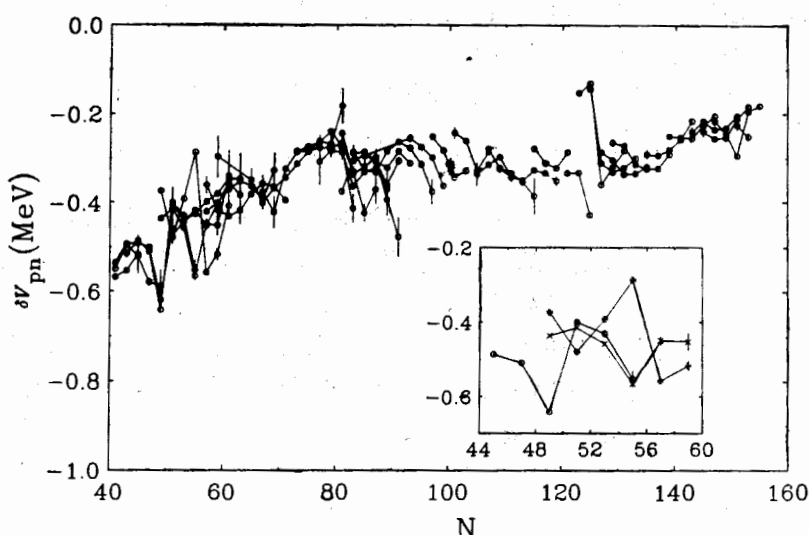


图1 实验 δV_{pn} 值。插图是 $Z = 37-41$, $N = 45-59$ 区的放大图。

$\circ: Z = 37$, $\times: Z = 39$, $\oplus: Z = 41$

而四极项则取决于质子和中子占据的轨道 i, j 的四极矩 $q_p(i), q_n(j)$ 和在轨道上的占据几率 $V_p^2(i), V_n^2(j)$

$$\delta V_{pn}^{ij}(\text{四极}) \approx -x_2 q_p(i) q_n(j) V_p^2(i) V_n^2(j), \quad (6)$$

其中 $x_0, x_2 > 0$, 是单极和四极 p-n 互作用强度系数。由(5)式可知, 对确定的 i, j 壳, δV_{pn} (单极)是个常数。而四极互作用则取决于所占据轨道的四极矩联系于斜率, 当所讨论的这一对质子和中子同时占据上翘(下降)的轨道, 则 δV_{pn}^{ij} (四极)为负, 即对整个核 p-n 互作用贡献一个相互吸引的作用, 反之, δV_{pn}^{ij} (四极)为正, 贡献相互排斥的作用。 δV_{pn} 的涨落行为正是密切联系于这些核结构特征的。例如, 图1插图所示, $Z = 39$ 和 $Z = 41$ 的同位素链的 δV_{pn} 值总是位相相反地随 N 而变化。这是因为第 39 个质子主要是填充 $p_{1/2}[301]1/2$ 的上翘轨道, 而第 41 个质子则主要占据 $g_{9/2}[440]1/2$ 下降轨道, 两者的四极矩符号相反。再比如第 55 个中子主要是填充上翘轨道 $d_{5/2}[413]5/2$, 四极矩为负, 于是与也是填充上翘道的第 39 个质子的互作用强于与第 41 个质子的互作用, 即负的更多, 第 57 个中子主要填充下降轨道 $g_{7/2}[420]1/2$ 情况正好相反, 可见这些核的结构特

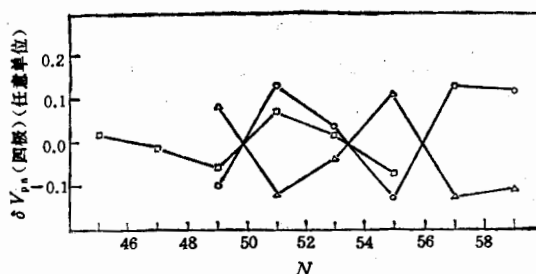


图2 利用 Nilsson 模型求得的 δV_{pn} (四极)值

$\square: Z = 37$ $\circ: Z = 39$ $\triangle: Z = 41$

征灵敏地反映在 δV_{pn} 值的变化之中。

注意到所讨论核是在 $Z = 40$ 满壳附近, 核平均地应该是近球形。利用 Nilsson 模型计算出一个核总的四极 $p-n$ 互作用能, 再按(2)式作对应的双差分, 即可求得对应的理论 δV_{pn} (四极) (见图 2)^[13]。很容易看到, δV_{pn} (四极) 理论值再现了实验 δV_{pn} 值的变化规律, 包括极值的位置, 请注意图 2 δV_{pn} (四极) 理论值是取任意单位。我们并未去调(6)式的 x_2 值, 而且由于一条轨道的四极矩是和形变有关, 而我们只是任意地取一个小形变 (如 $\epsilon_2 \approx 0.01$) 进行计算的。由理论与实验的比较可见, 对于近球形核, 实验 δV_{pn} 值的涨落主要来自于 $p-n$ 四极互作用。对于大形变区, 此时核的费米面处于对应壳层的中间轨道, 四极矩很小, 因此最后一个质子和中子间的四极互作用很小, 单极项的相对贡献变大。总的 δV_{pn} 将是各多极项贡献的总和。

利用公式(5)和(6)我们可以求得给定转动频率下偶偶核激发态对应的 δV_{pn} 值。图 3 给出一部份稀土区核高自旋态的 δV_{pn} 值。由图可见核处于高转动频率时, $p-n$ 互

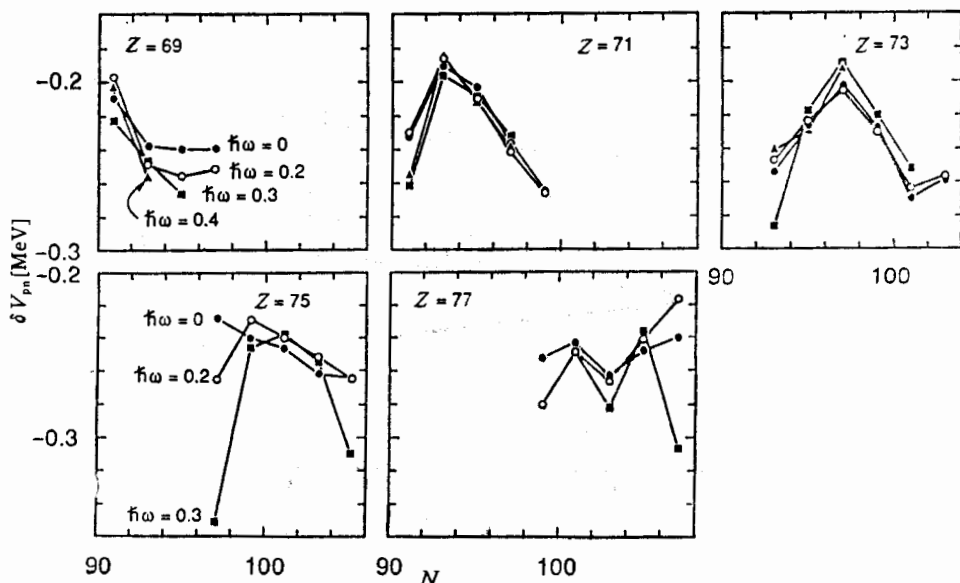


图 3 部份稀土核高自旋态的 δV_{pn} 值

● $\hbar\omega = 0$; ○ $\hbar\omega = 0.2$; ■ $\hbar\omega = 0.3$; ▲ $\hbar\omega = 0.4$

作用所有不同的变化特征, 值得做深入的理论探讨。由于图 3 所涉及的偶偶核大部份基态质量尚未测量过, 因此应主要研究 δV_{pn} 随转动频率的相对变化规律。其中有的现象可以得到解释。例如: 由图可见 $Z = 75$, $N = 97$ 的 δV_{pn} 绝对值随转动频率的增大而增大, 尤其是从 $\hbar\omega = 0.2$ 到 0.3 MeV , 有个大的跳跃。这是因为在相应的形变 ($\epsilon_2 \approx 0.23-0.25$), 第 97 个中子主要占据 $i_{13/2}[642]5/2$ 下降轨道。而第 75 质子, 在相应形变下, 当 $\hbar\omega \lesssim 0.2 \text{ MeV}$, 主要占据的是 $h_{11/2}[514]9/2$ 的上翘轨道, 但 $\hbar\omega$ 增大时, 此轨道将和 $h_{9/2}[541]1/2$ 下降轨道相交, 如图 4 的单粒子罗斯量图所示。这就是说当 $\hbar\epsilon$ 由 0.2 增至 0.3 MeV , 第 75 质子将由主要占据上升轨道变为主要占据下降轨道, 而第 97 个

中子却一直主要占据 $i_{13/2}[642]5/2$ 这一下降轨道。因此我们观察到了 δV_{pn} 值在此转动频率范围内的突变, 图4同时指出, 这种下降轨道与上升轨道的交叉, 在 $\hbar\omega \leq 0.3 \text{ MeV}$ 的

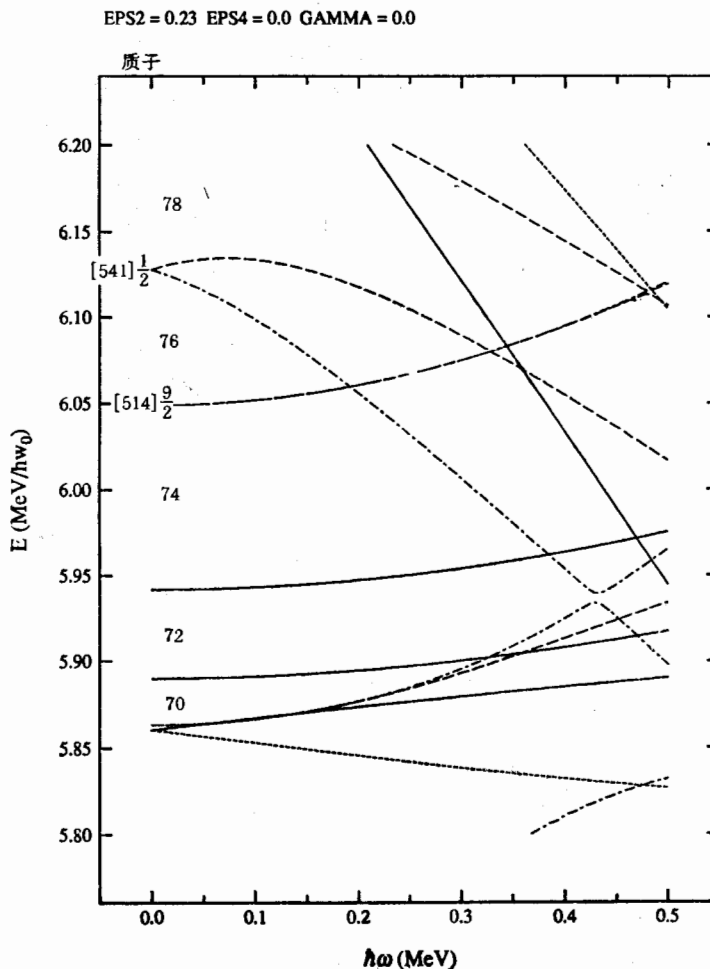


图4 质子单粒子罗斯量图

范围, 并不出现在 $Z = 70, 72$ 和 78 等质子数上, 这就是为什么我们未看到在 $Z = 71, 73, 77$ 的 δV_{pn} 值有与上述出现在 $Z = 75, N = 97$ 的 δV_{pn} 值相似的突变, 由这个例子可以看到, δV_{pn} 值确实包含着丰富的核结构的信息, 值得做深入的探讨, 特别是目前我们还仅能定性地解释部分 δV_{pn} 值的变化规律。

另一个相关联的课题是奇 A 核中 $p-n$ 互作用能对于组态和转动频率的依赖关系, 对于奇 A 核, δV_{pn} 的表达式(以奇质子核为例, 很容易写出奇中子核的相应表达式), 需做如下相应的变化, 并且应区分粒子态和空穴态。

$$B_\omega(Z, N, \omega, \sigma) = B(Z, N) + E_{ex}(Z, N, \omega, \sigma), \quad (7)$$

$$\delta V_{pn}(Z, N, \omega, \sigma) = \frac{1}{2} \{ [B_\omega(Z, N + 1, \omega, \sigma) - B_\omega(Z, N - 1, \omega, \sigma)]$$

$$-\{B_\omega(Z-1, N+1, \omega, \sigma) - B_\omega(Z-1, N-1, \omega, \sigma)\} \quad (8)$$

$$\delta V_{pn}(Z, N, \omega, \sigma) = \frac{1}{2} \{ [B_\omega(Z+1, N+1, \omega, \sigma) - B_\omega(Z+1, N-1, \omega, \sigma)] \\ - [B_\omega(Z, N+1, \omega, \sigma) - B_\omega(Z, N-1, \omega, \sigma)] \}. \quad (9)$$

其中 Z, N 是奇数, 而 σ 是特定的组态。(8)式对应的是粒子组态, (9)式对应的是空穴组态。表 1 是个例子, 实验数据取自文献 [16], 说明 Ir 同位素中占据 $h_{11/2}$, $d_{5/2}$, $h_{9/2}$ 和 $i_{13/2}$ 的奇质子与最后一个中子的 p-n 互作用能随频率的变化情况, 作为比较把取自相邻偶偶核的对应值也列在表上。我们立即可以看到 δV_{pn} 值对组态的强烈依赖关系。正

表 1 Ir 同位素 $\pi h_{11/2}, \pi d_{5/2}, \pi h_{9/2}$ 和 $\pi i_{13/2}$ 组态中的 δV_{pn} 值 (MeV)

| $\hbar\omega$ (MeV) | 0.0 | 0.10 | 0.15 | 0.20 | 0.25 | 0.30 |
|--|-------|-------|-------|-------|-------|-------|
| $\delta V_{pn}(77, 101, \omega, d_{5/2})$ | | 0.19 | -0.22 | -0.22 | | |
| $\delta V_{pn}(77, 101, \omega, h_{9/2})$ | | -0.26 | -0.24 | -0.24 | -0.40 | -0.43 |
| $\delta V_{pn}(77, 101, \omega, h_{11/2})$ | | | -0.28 | -0.27 | -0.30 | -0.33 |
| $\delta V_{pn}(77, 101, \omega, i_{13/2})$ | | | -0.16 | -0.14 | -0.08 | -0.10 |
| $\delta V_{pn}^{**}(77, 101, \omega)^*$ | -0.24 | -0.22 | -0.22 | -0.21 | -0.27 | -0.29 |
| $\delta V_{pn}(77, 103, \omega, d_{5/2})$ | | -0.25 | -0.23 | -0.26 | -0.33 | |
| $\delta V_{pn}(77, 103, \omega, h_{9/2})$ | | -0.31 | -0.28 | -0.27 | -0.24 | -0.37 |
| $\delta V_{pn}(77, 103, \omega, h_{11/2})$ | | | | -0.28 | -0.31 | -0.36 |
| $\delta V_{pn}(77, 103, \omega, i_{13/2})$ | | | -0.20 | -0.21 | -0.06 | -0.07 |
| $\delta V_{pn}(77, 103, \omega)^*$ | -0.26 | -0.25 | -0.25 | -0.25 | -0.23 | -0.21 |

* 利用公式(4)取自偶-偶核数据, 故用上标 **, 以区别于其它取自奇-A 核的结果。

如文献 [17, 16] 总罗斯量面 (TRS) 计算所指出的, 这几个 Ir 同位素, 由于核壳比较软, 单质子占据不同轨道, 对应着核的不同形变, 而当转动频率变化时, 这些组态的形变又会作不同的变化。显然对应的 δV_{pn} 值变化规律的研讨对于揭示内含的核结构信息是十分有价值的。

关于奇奇核中 p-n 互作用问题^[8, 18], 一方面实验数据更少些, 另一方面自旋的效应问题等, 有待于作专门的探讨。

三、结 束 语

应该指出, 本文进一步详细介绍的提取实验 p-n 互作用能 δV_{pn} 的方法, 对于研究核内 p-n 互作用与核结构及核集体运动的依赖关系是很有意义的。但是目前这种研究仍处于开始阶段, 实验和理论方面均有大量工作要做。这一方法本身还有它的局限性。首先它当然取决于实验值, 而迄今还有许多原子核的基态质量没有测量值, 例如目前已有丰富的高自旋数据的稀土核, 其中许多并无基态质量的测量值。其次, 如公式(2)所示, 实验 δV_{pn} 是从相邻四个核的结合能提取的, 因此实质上是这四个核内有关核子的 p-n 互作用的某种平均。而不是(目前看来也无法)直接从一个核本身提取出该核内的 p-n 互作用能。这一个平均性质, 在进行理论与实验结果的比较时, 应特别予以注意。

核内 p-n 互作用是个早已提出, 而又远未解决的课题, 值得深入探讨。最近, 美国橡

树岭国家实验室在探讨放射性束流的研究前景的专题会议上,就把研究 p-n 互作用,特别是 $Z=N$ 核内的 p-n 互作用作为重要课题之一^[1]。这值得我们予以注意。

作者对 R. Casten 和 J. Garrett 教授所做的有益讨论表示感谢。文中所用到的高自旋数据及部分图形是周文彩、金浩强、俞长虹及 C. Wesselborg 提供或帮助准备的,在此表示感谢。

参 考 文 献

- [1] I. Talmi, *Rev. Mod. Phys.*, **34**(1962), 704.
- [2] R. F. Casten, "Nuclear Structure From A Simple Perspective", Oxford University Press, 1990, Chap. 1, 3.
- [3] A de Shalit and M. Goldhaber, *Phys. Rev.*, **92**(1953), 1211.
- [4] P. Federman and S. Pittel, *Phys. Lett.*, **B69**(1977), 385.
- [5] M. Sakai, *Nucl. Phys.*, **A345**(1980), 232, and references therein.
- [6] K. Heyde et al., *Phys. Lett.*, **B155**(1985), 303.
- [7] R. F. Casten et al., *Phys. Rev. Lett.*, **47**(1981), 1433.
- [8] J. Janecke and E. Comay, *Nucl. Phys.*, **A436**(1985), 108.
- [9] G. E. Arenas Peris and P. Federman, *Phys. Lett.*, **173B**(1986), 359; *Phys. Rev.*, **C38**(1988), 493.
- [10] J.-Y. Zhang, C-S. Wu, C-H. Yu and J. D. Garrett, in: *Contemporary Topics in Nuclear Structure Physics*, Cocoyoc, Mexico, 1988, Abstract Volume, p. 109.
- [11] J.-Y. Zhang, R. F. Casten and D. S. Brenner, *Phys. Lett.*, **227B**(1989), 1.
- [12] J.-Y. Zhang, J. D. Garrett, R. F. Casten, D. S. Brenner, C. Wesselborg, C.-H. Yu, and M. Carpenter, Proc "Nuclear Structure at Ninetics", April 23—27, 1990, Oak Ridge, USA.
- [13] D. S. Brenner, C. Wesselborg, R. F. Casten, D. D. Warner and J.-Y. Zhang, *Phys. Lett.*, **B243**(1990), 1.
- [14] A. H. Wapstra, G. Audi and R. Hoekstra, *At. Data and Nucl. Data Tables*, **39**(1988), 281.
- [15] W.-T. Zhou, J.-Y. Zhang, R. F. Casten and D. S. Brenner, "Comparison of Calculated and Empirical p-n Interactions in Heavy Nuclei", submit to *Phys. Lett.*
- [16] L. L. Riedinger, H.-J. Jin, and J.-Y. Zhang, Proc. "重离子物理和应用国际会议", 10月8日—12日, 1990年, 兰州。
- [17] J.-Y. Zhang, Proc. Conf. "Physics at Tandem", May 1986, Eds. J. C. Jiang et al. World Scientific, Singapore (1987), p. 512; R. Bengtsson, T. Beagtsönn, J. Dudek, G. Leander, W. Nazarewicz and J.-Y. Zhang, *Phys. Lett.*, **B183**(1987), 1.
- [18] 胡济民, 私人通讯, 1990年五月。
- [19] J. D. Garrett et al., "Possibilities for Radioactive Beams at HHIRF", Oak Ridge, Oct. 1990. USA.

Empirical Proton-Neutron Interaction Energy

ZHANG JINGYE

(Theoretical Center, CCAST (World Laboratory),

Institute of Modern Physics, Academia Sinica of China, Lanzhou 730000)

ABSTRACT

A method for extracting the empirical proton-neutron interaction energy between the last proton and the last neutron, δV_{pn} has been described and developed. The results for ground states of all even-even nuclei with N not less than 40 and for high spin states of some nuclei have been discussed. δV_{pn} values at high frequency for given configuration of some odd A nuclei were shown as well. It is found that these empirical δV_{pn} values include all multipole (mostly the monopole and quadrupole) terms of proton-neutron interaction and sensitively depend on nuclear deformation, configuration and rotational frequency.